

Merev testként jellemzett légieszközök nemlineáris mozgásegyenletei: deriválás forgó rendszerben, impulzus és perdület tételek, mozgásegyenletek

Dr. Bauer Péter
BME Közlekedés- és Járműirányítási Tanszék
2015.

Egy merev testként jellemzett légieszköznek 6 szabadságfoka van, melyek a 3 irányú elmozdulást és 3 tengely körüli szögelfordulást jelentik. Így pillanatnyi mozgásállapotát a 3 irányú sebesség és szögsebesség komponensek megadása már egyértelműen jellemzi. A teljes mozgás leírásához persze még szükséges a pillanatnyi pozíció és orientáció megadása is.

A fent felsorolt mennyiségek (pozíció, sebesség stb.) matematikailag csak egy választott koordináta-rendszerhez képest írhatók le, ezért szükséges az alkalmazott koordináta-rendszer(ek) megválasztása.

A nemlineáris mozgásegyenletek legkönnyebben a repülőgép (légieszköz) törzséhez kötött test rendszerre vonatkozóan vezethetők le. Ha a légieszköz legfeljebb pár kilométert tesz meg a repülése során, akkor a test rendszer mozgását elegendő az inerciarendszernek tekintett NED rendszerhez képest leírni. A test (X_B, Y_B, Z_B) és föld (NED, X_E, Y_E, Z_E) rendszereket a *Koordináta rendszerek és transzformációk* segédlet mutatja be.

A test rendszer (a légieszköz) haladó és forgó mozgást végez a föld rendszerhez képest, így a forgó rendszerben való deriválás operátorát kell alkalmazni, ami egy relatív és egy szállító részből áll. A relatív rész adja meg a vektor forgó rendszerhez képest való megváltozását, a szállító pedig a forgásból eredő megváltozást ($\underline{\omega}$ a rendszer forgási szögsebessége).

$$\underbrace{\frac{d}{dt}}_{\text{abszolút}}(\quad) = \underbrace{\frac{\delta}{\delta t}}_{\text{relatív}}(\quad) + \underbrace{\underline{\omega} \times (\quad)}_{\text{szállító}} \quad (1)$$

A 6 szabadságfokú merev testként modellezett repülőgép mozgásegyenletei a forgó rendszerben az impulzus- és perdület tételek alkalmazásával vezethetők le.

Az impulzus tétel alakja:

$$\underline{F} = \frac{d}{dt}(m\underline{V}) \quad (2)$$

Ahol \underline{F} a testre ható erők vektora, m a test tömege és \underline{V} a test sebességvektora.

A perdülettétel alakja:

$$\underline{M} = \frac{d}{dt}\underline{\pi} = \frac{d}{dt}(J\underline{\omega}) \quad J = \begin{bmatrix} I_{xx} & 0 & -I_{xz} \\ 0 & I_{yy} & 0 \\ -I_{xz} & 0 & I_{zz} \end{bmatrix} \quad (3)$$

Ahol \underline{M} a testre ható nyomatékok vektora, $\underline{\pi}$ a test perdületvektora, amit a J inercia mátrixból és az $\underline{\omega}$ szögsebesség vektorból képezhetünk. A J inercia mátrix felírásánál figyelembe vettük, hogy a légieszköz hossz tengelye általában szimmetria tengelynek tekinthető, így egyes tengelypárra vett tehetetlenségi nyomatékok zérus értékűek.

Először repülőgép, majd egy négyrotoros helikopter síkbeli dinamika mozgásegyenleteit írjuk fel.

Az impulzus tétel esetünkben a repülőgépre felírt alakja:

$$\begin{bmatrix} F_x \\ F_y \\ F_z \end{bmatrix} + T_{BE} \begin{bmatrix} 0 \\ 0 \\ m \cdot g \end{bmatrix} + \underbrace{\begin{bmatrix} T \\ 0 \\ 0 \end{bmatrix}}_{F_T} = m \left(\frac{\delta \underline{V}}{\delta t} + \underline{\omega} \times \underline{V} \right) \quad (4)$$

Itt F_x, F_y, F_z a repülőgépre a test rendszer tengelyei mentén ható légerők, g a gravitációs konstans, T_{BE} a föld rendszerből a test rendszerbe vivő forgatási transzformáció mátrixa, T a csak a test rendszer x tengelye mentén ható tolóerő.

A perdület tétel pedig:

$$\begin{bmatrix} L \\ M \\ N \end{bmatrix} + M_T + M_g = J \frac{\delta \underline{\omega}}{\delta t} + \underline{\omega} \times (J \underline{\omega}) = J \frac{\delta \underline{\omega}}{\delta t} + \Omega J \underline{\omega} \quad (5)$$

Itt L, M és N a test rendszer tengelyeire a légerőkből ható nyomatékok, Ω pedig az $\underline{\omega} \times$ vektori szorzás mátrix reprezentációja. A hajtómű vonó (toló) erejéből származó M_T és a forgásából származó M_g nyomatékokat a továbbiakban az egyszerűség kedvéért zérusnak tekintjük.

Az u, v, w sebesség és a p, q, r szögsebesség komponenseket figyelembe véve és a két egyenletrendszert egyesítve a 6 szabadságfokú repülőgép mozgásegyenlet rendszere:

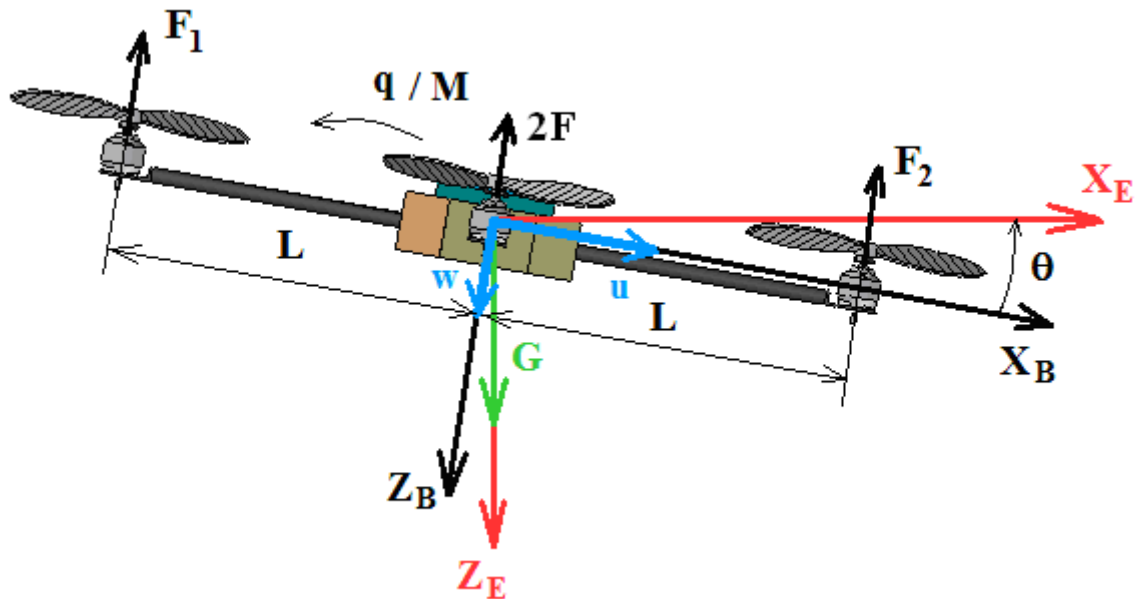
$$\begin{bmatrix} \begin{bmatrix} m & 0 & 0 \\ 0 & m & 0 \\ 0 & 0 & m \end{bmatrix} & 0 \\ 0 & \begin{bmatrix} I_{xx} & 0 & -I_{xz} \\ 0 & I_{yy} & 0 \\ -I_{xz} & 0 & I_{zz} \end{bmatrix} \end{bmatrix} \begin{bmatrix} \dot{u} \\ \dot{v} \\ \dot{w} \\ \dot{p} \\ \dot{q} \\ \dot{r} \end{bmatrix} = \begin{bmatrix} -m\Omega & 0 \\ 0 & -\Omega J \end{bmatrix} \begin{bmatrix} u \\ v \\ w \\ p \\ q \\ r \end{bmatrix} + \begin{bmatrix} \begin{bmatrix} F_x \\ F_y \\ F_z \end{bmatrix} + T_{EB} \begin{bmatrix} 0 \\ 0 \\ m \cdot g \end{bmatrix} + \begin{bmatrix} T \\ 0 \\ 0 \end{bmatrix} \\ \begin{bmatrix} L \\ M \\ N \end{bmatrix} \end{bmatrix}$$

A rendszer teljes megadásához szükséges a pillanatnyi sebesség és szögsebesség értékeknek, a repülőgép tömeg és inercia adatainak, a pillanatnyi légerőknek és nyomatékoknak, a gép orientációjának és a hajtómű tolóerejének az ismerete.

A megadott egyenletrendszerből a sebességek és szögsebességek deriváltjai a bal oldali együttható mátrix inverzével való átszorzás útján nyerhetők. Így egy elsőrendű, nemlineáris differenciálegyenlet rendszer adódik. A nemlinearitást elsődlegesen a $-m\Omega V$, $-\Omega J\omega$ tagok adják, de a légerők, nyomatékok és a tolóerő is lehet a sebesség és szögsebesség értékek függvénye.

Négyrotoros helikopter síkbeli dinamikája

Négyrotoros helikopter oldalnézetét ábrázolja a 1. ábra.



1. ábra Négyrotoros helikopter oldalnézete

Itt (X_E, Z_E) a föld, (X_B, Z_B) pedig a test koordináta rendszerek. A mozgásegyenletek felírásához az impulzus tételt az X és Z tengelyek mentén, a perdület tételt pedig az Y tengelyre vonatkozóan szükséges felírni test rendszerben. Az impulzus tétel két egyenlete:

$$m\dot{u} = -mg \cdot \sin \theta - c_x u^2$$

$$m\dot{w} = mg \cdot \cos \theta - c_z w^2 + F_1 + F_2 + 2F$$

Itt m a helikopter tömege, g a gravitációs konstans, θ a helikopter bólintási szöge (felfelé pozitív), c_x c_z a tengelyek menti ellenállás tényezők, melyek már a helikopter homlokfelület és a levegősűrűség hatását is tartalmazzák, u , w a sebességkomponensek, F F_1 F_2 pedig a légcsavarokból a helikopterre ható erők. F_1 F_2 azért különböznek el a másik két légcsvár F erejétől, mert a helikopter bólintó mozgásához ezek F -től eltérő értéke szükséges.

A perdület tétel az Y tengelyre a következő alakban írható fel:

$$I_{yy}\dot{q} = F_2 L - F_1 L - c_M \cdot q^2$$

Itt I_{yy} a helikopter Y tengelyre vonatkozó másodrendű tehetetlenségi nyomatéka, q a bólintó szögsebesség és c_M a homlokfelület és a levegősűrűség hatását is tartalmazó Y tengelyre vonatkozó nyomatéki tényező.

Ezzel tulajdonképpen készen van a négyrotoros helikopter nemlineáris mozgásegyenleteinek levezetése. A nemlinearitást a négyzetes tagok és a szögfüggvények mutatják.

A nemlineáris egyenletrendszer numerikus megoldása

A mozgásegyenletekként kiadódó elsőrendű, nemlineáris differenciálegyenlet rendszert a legegyszerűbb numerikus szimulációval megoldani. Ha ismert a sebességek és szögsebességek kezdő értéke, a repülőgép kezdő pozíciója és orientációja, kormányfelület kitérései, a gázkar állása a hozzá tartozó vonóerővel és nyomatékokkal és a légkör jellemzői (például levegősűrűség) akkor a légerők és nyomatékok számíthatók és a teljes differenciálegyenlet rendszer felépíthető. A deriváltak ismeretében a következő időpillanatbeli sebességek és szögsebességek különféle integrál formulákkal meghatározhatók.

Legyen a repülőgép állapot vektora: $x^T = [u \ v \ w \ p \ q \ r]$ bemeneti vektora pedig $u^T = [\delta_a \ \delta_e \ \delta_r \ \delta_{th}]$ ekkor az állapotoktól és bemenetektől nemlineárisan függő állapot deriváltak tömören a következő egyenlettel adhatók meg:

$$\dot{x} = f(x, u)$$

Ahol $f(\)$ egy nemlineáris függvény.

A differenciálegyenlet rendszer megoldásának nehézségét az adja, hogy az állapotok deriváltja függ maguktól az állapotoktól.

A megoldás legegyszerűbb módja az *Euler módszer* (téglalap szabály) mely feltételezi, hogy a derivált egy Δt időlépés alatt nem változik. Így az egymás után következő időpillanatok az alábbi módon definiálva:

$$t_k \ t_{k+1} \ t_{k+2} \ \dots, \ k = 0 - \infty, \ t_{k+1} - t_k = \Delta t, \ \forall k$$

Egy adott időpillanatbeli állapot az előző állapotból és bemenetből a következő módon számítható:

$$x_{k+1} = x_k + f(x_k, u_k) \Delta t$$

Az Euler módszerrel kapott eredmény javítható az úgynevezett Heun formulával (trapéz szabály):

$$x_{k+1} = x_k + \frac{f(x_k, u_k) + f(x_{k+1}, u_{k+1})}{2} \Delta t$$
$$\bar{x}_{k+1} = x_k + f(x_k, u_k) \Delta t$$
$$x_{k+1} = x_k + \frac{f(x_k, u_k) + f(\bar{x}_{k+1}, u_{k+1})}{2} \Delta t$$

A trapéz szabályban definíció szerint a jobb oldalon szerepel a $k+1$ állapot, amit ekkor még nem ismerünk (a bemenetet ismertnek feltételezzük). Így a felírt formula csak közelítőleg oldható meg, a $k+1$ állapotot Euler módszerrel előre becsülve.

A gyakorlatban a legtöbbször valamilyen szimulációs programot (pl. Matlab Simulink) használunk a mozgásegyenletek megoldására, melyben számtalan beépített megoldó módszer közül választhatunk.

Nemlineáris rendszerek linearizálása a kis megzavarások módszerével

A 6 szabadságfokú repülőgépre és a négyrotoros helikopter síkbeli modelljére levezetett mozgásegyenlet rendszerek egyaránt nemlineárisak. Az irányítástechnika módszereinek nagy része viszont csak lineáris rendszerekre alkalmazható, ezért szükséges a mozgásegyenletek

linearizálása. Ezt részletesen csak a repülőgép dinamika első egyenletére írjuk fel, mert a többire hasonló módon kell.

1 Repülőgép mozgásegyenleteinek linearizálása

Először is feltesszük, hogy a nemlineáris rendszernek létezik 0 indexű paraméterekkel jellemzett úgynevezett trim állapota, melyben a rendszer egyensúlyban van (sebesség és szögsebesség deriváltja egyaránt 0). Egy nemlineáris rendszerre általában több ilyen állapot is létezik.

Ezt követően vesszük a jellemzők trim pont körüli kis megváltozásait, és ezeket behelyettesítjük az adott egyenletbe. Az egyensúlyi pont 0-ra vezető egyenletét figyelembe véve és a másodrendűen kicsiny tagokat elhagyva kapjuk végül a kis megzavarásokkal linearizált mozgásegyenletet, mely a trim pont körüli változásokat írja csak jól le.

$$\begin{aligned} m\dot{u} &= m \cdot r \cdot v - m \cdot q \cdot w + F_x + G_x + T \\ u &= u_0 + \Delta u \quad v = v_0 + \Delta v \quad w = w_0 + \Delta w \\ r &= r_0 + \Delta r \quad q = q_0 + \Delta q \\ F_x &= F_{x0} + \Delta F_x \quad G_x = G_{x0} + \Delta G_x \quad T = T_0 + \Delta T \\ m\Delta\dot{u} &= m(r_0 + \Delta r)(v_0 + \Delta v) - m(q_0 + \Delta q)(w_0 + \Delta w) + \\ &+ F_{x0} + \Delta F_x + G_{x0} + \Delta G_x + T_0 + \Delta T \\ 0 &= mr_0 v_0 - mq_0 w_0 + F_{x0} + G_{x0} + T_0 \quad \text{egyensúlyi pont} \\ m\Delta\dot{u} &= mr_0 \Delta v + mv_0 \Delta r - mq_0 \Delta w - mw_0 \Delta q + \\ &+ \Delta F_x + \Delta G_x + \Delta T \end{aligned}$$

Az Irányítástechnika tárgyakban jól megszokott $\dot{x} = Ax + Bu$ állapotdinamikai egyenlet tulajdonképpen mindig egy ilyen trim pont környezetében linearizált rendszer viselkedését írja le, tehát $\Delta\dot{x} = A \cdot \Delta x + B \cdot \Delta u$ alakúnak tekintendő (a vektorok aláhúzással jelölését irányításelméletben nem szokták alkalmazni).

A repülőgépre vonatkozó egyenletekben a légerők és nyomatékok kis megváltozásai elsőrendű Taylor sorba fejtéssel kaphatók meg (a második erőttől kezdve már csak a függvénykapcsolatokat jelölve):

$$\begin{aligned} \Delta F_x &= \underbrace{\frac{\partial F_x}{\partial u}}_{X_u} \Delta u + \underbrace{\frac{\partial F_x}{\partial w}}_{X_w} \Delta w + \underbrace{\frac{\partial F_x}{\partial \delta_e}}_{X_{\delta_e}} \Delta \delta_e \\ \Delta F_y &= f(\Delta v \quad \Delta p \quad \Delta r \quad \Delta \delta_r) \\ \Delta F_z &= f(\Delta u \quad \Delta w \quad \Delta q \quad \Delta \delta_e) \\ \Delta L &= f(\Delta v \quad \Delta p \quad \Delta r \quad \Delta \delta_r \quad \Delta \delta_a) \\ \Delta M &= f(\Delta u \quad \Delta w \quad \Delta q \quad \Delta \delta_e) \\ \Delta N &= f(\Delta v \quad \Delta p \quad \Delta r \quad \Delta \delta_r \quad \Delta \delta_a) \end{aligned}$$

A képletekben δ_a , δ_e és δ_r a repülőgép csűrő (aileron), magassági (elevator) és oldal (rudder) kormányának kitérését jelentik.

Végül a repülőgép dinamikájára a kis megzavarásokkal kapott hat egyenlet két csoportra osztható: longitudinális (hosszdinamikai (Lo)) és laterális (kereszt dinamikai (Lat)) egyenletekre:

$$\text{Lo1. } m\Delta\dot{u} = -mq_0\Delta w - mw_0\Delta q + \Delta F_x + \Delta G_x + \Delta T$$

$$\text{Lo2. } m\Delta\dot{w} = mq_0\Delta u + mu_0\Delta q + \Delta F_z + \Delta G_z$$

$$\text{Lo3. } I_{yy}\Delta\dot{q} = \Delta M$$

$$\text{Lat1. } m\Delta\dot{v} = -mu_0\Delta r + mw_0\Delta r + \Delta F_y + \Delta G_y$$

$$\text{Lat2. } I_{xx}\Delta\dot{p} - I_{xz}\Delta\dot{r} = \Delta L$$

$$\text{Lat3. } I_{zz}\Delta\dot{r} - I_{xz}\Delta\dot{p} = \Delta N$$

A hosszdinamikai egyenletek a repülőgép test rendszer X-Z (függőleges) síkjában való mozgását írják le. Ezekben az u , w sebesség komponensek, a q bólintó szögsebesség és a δ_e , δ_{th} magassági kormány és gázkar bemenetek szerepelnek (utóbbiak a légerőkön, nyomatékön és a tolóerőn keresztül).

A kereszt dinamikai egyenletek az X-Z síkból 'kilógó' mozgásokat írják le a v sebességgel, a p orsózó és r legyező szögsebességekkel δ_a , δ_r csűrő és oldalkormány bemenetekkel.

Longitudinális linearizált egyenletek

A légerők, a nyomaték és a gravitációs vektor Taylor sorfejtését és a θ bólintási szög egyszerűsített dinamikáját figyelembe véve a repülőgép hosszdinamikai mozgásegyenletei állapotteres alakban (a gázkar pozíció helyett a tolóerő megváltozását tekintve bemenetnek):

$$\begin{bmatrix} \Delta\dot{u} \\ \Delta\dot{w} \\ \Delta\dot{q} \\ \Delta\dot{\theta} \end{bmatrix} = \begin{bmatrix} \frac{1}{m} \frac{\partial F_x}{\partial u} & \frac{1}{m} \frac{\partial F_x}{\partial w} & \frac{1}{m} \frac{\partial F_x}{\partial q} - w_0 & -\cos\theta_0 \cdot g \\ \frac{1}{m} \frac{\partial F_z}{\partial u} & \frac{1}{m} \frac{\partial F_z}{\partial w} & \frac{1}{m} \frac{\partial F_z}{\partial q} + u_0 & -\sin\theta_0 \cdot g \\ \frac{1}{I_{yy}} \frac{\partial M}{\partial u} & \frac{1}{I_{yy}} \frac{\partial M}{\partial w} & \frac{1}{I_{yy}} \frac{\partial M}{\partial q} & 0 \\ 0 & 0 & 1 & 0 \end{bmatrix} \begin{bmatrix} \Delta u \\ \Delta w \\ \Delta q \\ \Delta\theta \end{bmatrix} + \begin{bmatrix} \frac{1}{m} \frac{\partial F_x}{\partial \delta_e} & 1 \\ \frac{1}{m} \frac{\partial F_z}{\partial \delta_e} & 0 \\ \frac{1}{I_{yy}} \frac{\partial M}{\partial \delta_e} & 0 \\ 0 & 0 \end{bmatrix} \begin{bmatrix} \Delta\delta_e \\ \Delta T \end{bmatrix}$$

Laterális linearizált egyenletek

A laterális dinamika Lat2 és Lat3 egyenleteiben mindkét szögsebesség deriváltja szerepel. A külön-külön egyenletek az alábbi transzformáció útján kaphatók meg:

$$\begin{aligned} I_{xx}\Delta\dot{p} - I_{xz}\Delta\dot{r} &= \Delta L \\ I_{zz}\Delta\dot{r} - I_{xz}\Delta\dot{p} &= \Delta N \end{aligned} \Rightarrow \begin{bmatrix} \Delta\dot{p} \\ \Delta\dot{r} \end{bmatrix} = \begin{bmatrix} I_1 & I_2 \\ I_2 & I_3 \end{bmatrix} \begin{bmatrix} \Delta L \\ \Delta N \end{bmatrix}$$

$$I_1 = \frac{-I_{zz}}{-I_{xx}I_{zz} + I_{xz}^2} \quad I_2 = \frac{-I_{xz}}{-I_{xx}I_{zz} + I_{xz}^2} \quad I_3 = \frac{-I_{xx}}{-I_{xx}I_{zz} + I_{xz}^2}$$

A légerők, a nyomaték és a gravitációs vektor Taylor sorfejtését és a ϕ bedöntési és ψ azimut szögek közelítő dinamikáját figyelembe véve a repülőgép kereszt dinamikai mozgásegyenletei állapotteres alakban:

$$\begin{bmatrix} \Delta \dot{v} \\ \Delta \dot{p} \\ \Delta \dot{r} \\ \Delta \dot{\phi} \\ \Delta \dot{\psi} \end{bmatrix} = \begin{bmatrix} \frac{1}{m} \frac{\partial F_y}{\partial v} & \frac{1}{m} \frac{\partial F_y}{\partial p} + w_0 & \frac{1}{m} \frac{\partial F_y}{\partial r} - u_0 & g \cos \theta_0 & 0 \\ I_1 \frac{\partial L}{\partial v} + I_2 \frac{\partial N}{\partial v} & I_1 \frac{\partial L}{\partial p} + I_2 \frac{\partial N}{\partial p} & I_1 \frac{\partial L}{\partial r} + I_2 \frac{\partial N}{\partial r} & 0 & 0 \\ I_2 \frac{\partial L}{\partial v} + I_3 \frac{\partial N}{\partial v} & I_2 \frac{\partial L}{\partial p} + I_3 \frac{\partial N}{\partial p} & I_2 \frac{\partial L}{\partial r} + I_3 \frac{\partial N}{\partial r} & 0 & 0 \\ 0 & 1 & \operatorname{tg} \theta_0 & 0 & 0 \\ 0 & 0 & \frac{1}{\cos \theta_0} & 0 & 0 \end{bmatrix} \begin{bmatrix} \Delta v \\ \Delta p \\ \Delta r \\ \Delta \phi \\ \Delta \psi \end{bmatrix} + (11a)$$

$$+ \begin{bmatrix} \frac{1}{m} \frac{\partial F_y}{\partial \delta_r} & \frac{1}{m} \frac{\partial F_y}{\partial \delta_a} \\ I_1 \frac{\partial L}{\partial \delta_r} + I_2 \frac{\partial N}{\partial \delta_r} & I_1 \frac{\partial L}{\partial \delta_a} + I_2 \frac{\partial N}{\partial \delta_a} \\ I_2 \frac{\partial L}{\partial \delta_r} + I_3 \frac{\partial N}{\partial \delta_r} & I_2 \frac{\partial L}{\partial \delta_a} + I_3 \frac{\partial N}{\partial \delta_a} \\ 0 & 0 \\ 0 & 0 \end{bmatrix} \begin{bmatrix} \Delta \delta_r \\ \Delta \delta_a \end{bmatrix} \quad (11b)$$

Ezek az egyenletek már az irányítástechnikában megszokott állapotdinamikai egyenlet alakjában vannak:

$$\dot{x} = Ax + Bu$$

2 Négyrotoros helikopter mozgásegyenleteinek linearizálása

Négyrotoros helikopter bólintó dinamikája az alábbi nemlineáris mozgásegyenlet rendszerrel írható le:

$$\begin{aligned} m\dot{u} &= -mg \cdot \sin \theta - c_x u^2 \\ m\dot{w} &= mg \cdot \cos \theta - c_z w^2 + F_1 + F_2 + 2F \\ I_{yy}\dot{q} &= F_2 L - F_1 L - c_M \cdot q^2 \end{aligned}$$

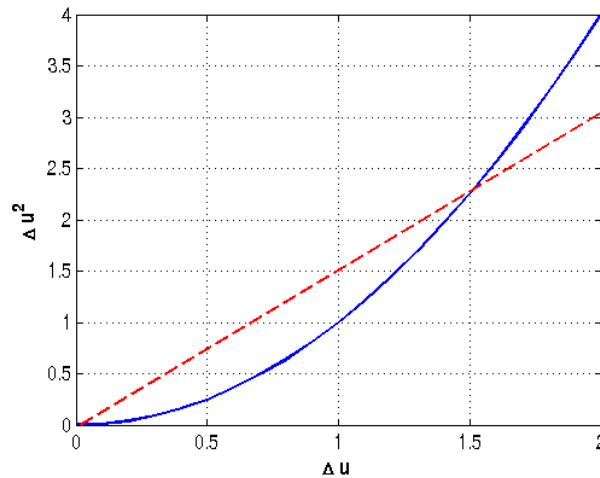
Az egyensúlyi pontban, azaz lebegésben minden mozgásjellemező nulla: $u_0 = 0$ $w_0 = 0$ $q_0 = 0$ $\theta_0 = 0$ és a négy rotor ereje a helikopterre ható gravitációs erővel tart egyensúlyt: $mg = 4F \rightarrow F_{10} = F$ $F_{20} = F$

A kis megzavarások módszerének alkalmazása itt a négyzetes sebességi tagokra az alábbi eredményt adja:

$$(u_0 + \Delta u)^2 = u_0^2 + 2u_0 \Delta u + \Delta u^2$$

Ebből a másodrendűen kicsiny tagot elhagyva és az egyensúlyi sebességet figyelembe véve teljesen zérus érték adódik, ami fizikailag nem megengedhető, mert elhanyagolja a teljes légellenállást (vagy annak nyomtatékát a harmadik egyenletben). Így a linearizált modell bármekkora bemenő erő, vagy nyomtaték változás hatására végtelen nagy sebességet, vagy szögsebességet fog produkálni. A helyes fizikai viselkedés megőrzése érdekében azért itt másfajta közelítés szükséges. A négyzetes sebesség változást felrajzolva a parabola lineáris közelítését kell megalkotni. A kiinduló pontbeli meredekség ebben az esetben nem megfelelő közelítés, mert zérus értékű. A legjobb közelítés a maximálisan lehetséges Δu sebességváltozást figyelembe véve a parabola legkisebb négyzetes lineáris közelítése a

következő alakban: $\Delta u^2 = a_x \Delta u$. Ezt szemlélteti a 2. ábra. Fontos látni, hogy így kis sebességen nagyobb, nagy sebességen pedig kisebb ellenállásért fog adni a modellünk a valósnál.



2. ábra Egy parabola lehetséges lineáris közelítése

A nem négyzetes tagok közelítését egyszerűen beírva az alábbi linearizált egyenletrendszer adódik:

$$m\Delta\dot{u} = -mg \cdot \sin \Delta\theta - c_x a_x \Delta u$$

$$m\Delta\dot{w} = -c_z a_z \Delta w + \Delta F_1 + \Delta F_2$$

$$I_{yy}\Delta\dot{q} = \Delta F_2 L - \Delta F_1 L - c_M \cdot a_M \Delta q$$

Felhasznált és ajánlott irodalom

- [1] Bokor József, Gáspár Péter: *Irányítástechnika járműdinamikai alkalmazásokkal*, Typotex kiadó, Budapest, 2008.
- [2] Bauer Péter: *Repülőgépek egyszerű referencijel követő szabályzóinak tervezése LQ Servo módszerrel*, Matlab/Simulink környezetben, BME Közlekedésautomatikai Tanszék, 2009.
(url:
http://www.kjit.bme.hu/images/stories/targyak/automatikus_fedelzeti/lq_servo_tervezes.pdf)
- [3] Lantos Béla: *Irányítási rendszerek elmélete és tervezése, egyváltozós szabályozások*, Akadémiai Kiadó, Budapest, 2005.
- [4] Prof. Bokor József és szerzőtársai: *Irányítástechnika gyakorlatok*, Typotex kiadó, Budapest, 2012.
- [5] Randal W. Beard, Timothy W. McLain: *Small Unmanned Aircraft, Theory and Practice*, Princeton University Press, 2012.
- [6] Scott Gleason, Demoz Gebre-Egziabher: *GNSS Applications and Methods*, Artech House, 2009.
- [7] Rohács József, Gausz Zsanna, Gausz Tamás: *Repülésmechanika, egyetemi jegyzet*, Typotex kiadó 2012. (www.tankonyvtar.hu)
- [8] μBLOX: Datum Transformations of GPS Positions, Application Note, 5th July 1999.
- [9] Guowei Chai, Ben M. Chen and Tong Heng Lee: *Unmanned Rotorcraft Systems*, Advances in Industrial Control, Springer, London, 2011.